

МЕТОДЫ ИССЛЕДОВАНИЯ ГЛОБАЛЬНОЙ ЭНЕРГЕТИЧЕСКОЙ СЕТИ ХАРТМАНА (ГЕОФИЗИЧЕСКАЯ АНОМАЛИЯ)

Ч.1. ФОТОРЕГИСТРАЦИЯ ЭЛЕМЕНТОВ СЕТИ

© 2008г. Ю.Г. Агбалаян

Институт геологических наук НАН РА
0019, Ереван, пр. Маршала Баграмяна, 24а, Республика Армения
e-mail: hrshah@sci.am
Поступила в редакцию 10.06.2008г.

В статье приводятся фотографии полос и узлов глобальной энергетической сети Хартмана (геофизическая аномалия), полученные методом контактной фотографии в кассете из специального материала на цветной фотопленке. Полученные фотографии позволяют объективно оценить физические параметры элементов сети: ширину полос, площадь узлов, а также дрейф полос в течение времени экспозиции. Установлено, что высокочастотное излучение полос, направленных сверху вниз, достигает Земли внутри полосковой линии, стенками которой является рентгеновское или гамма-излучение космического происхождения. Фотографии полос сети Хартмана получены на поверхности Земли, на высоте 5 метров над Землей, а также в солеруднике, на глубине 235 метров.

Глобальная энергетическая сеть Хартмана – малоизученная геофизическая аномалия естественного происхождения в виде сети, полосы которой представляют собой слабое электромагнитное излучение дециметрового диапазона (Дубров, 1992; Hartman, 1976; Schweizer, 1986), строго ориентированное по сторонам света. Размеры ячейки сети составляют, в среднем, 2 м в направлении С-Ю и 2,5 м в направлении З-В. Кроме сети Хартмана, открытой в 1953 году немецким врачом, доктором Э. Хартманом, и названной в его честь (Hartman, 1976), существуют и другие виды сетей – диагональная сеть Карри, с размерами ячейки 5х6 м, сеть Виттмана, с размерами 16х16 м, (Дубров, 1992) и т.д. На рис. 1 представлена элементарная ячейка сети. Размеры ячейки зависят от многих причин и могут отличаться от средних. Например, над солерудником (Ереван, Армения) ее размеры

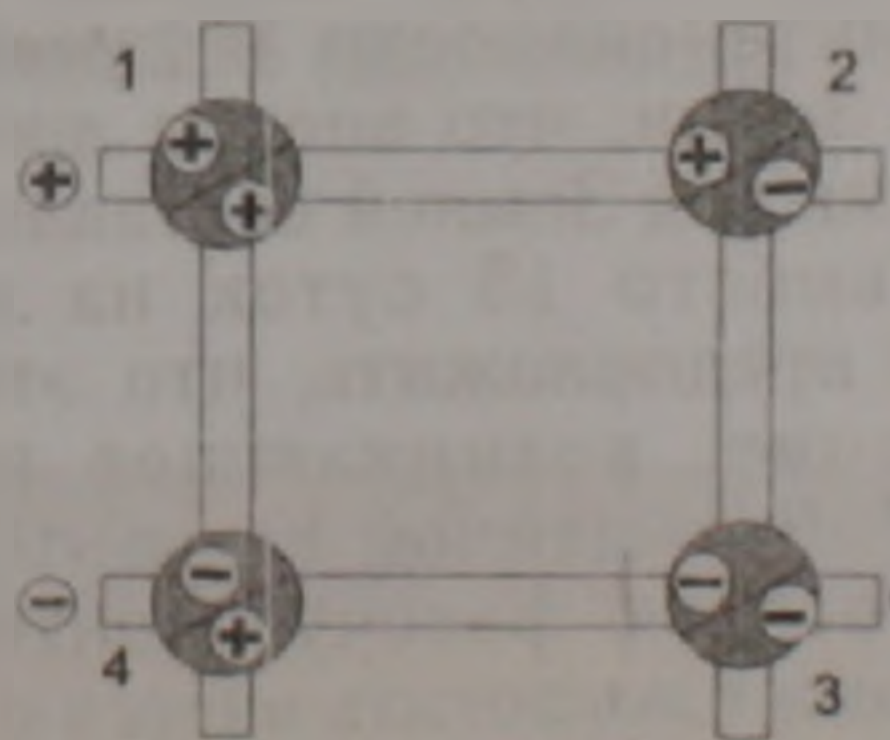


Рис. 1. Элементарная ячейка глобальной энергетической сети Хартмана

составляют 4х4,5 м, на глубине 67 м (Гарнийская геофизическая обсерватория, Армения) – 1,8-2х2,3-2,5 м, а в солеруднике, на глубине 235 м, 18х20 м. Кроме того известно, что размеры элементарной ячейки сети Хартмана уменьшаются по направлению от экватора к полюсам Земли. Полосы сети Хартмана чередуются – излучение одних направлено сверху вниз – “минус” полоса (условное обозначение), излучение других направлено снизу-вверх – “плюс” полоса. Соответственно, узлы сети Хартмана имеют различное происхождение и свойства.

Узел “плюс” образован пересечением двух полос “плюс” – узел 1, на рис. 1 узел “минус” образован двумя полосами “минус” – узел 3, на рис. 1. Эти узлы отличаются по своим физическим свойствам и являются своеобразными индикаторами солнечно-земных связей (Sagatelyan et al., 2004). Два других узла – “плюс-минус”, узлы 2 и 4 имеют одинаковые свойства (иногда в литературе их называют нейтральными) и отличаются тем, что в них одно излучение направлено снизу-вверх, другое – сверху вниз и, кроме того, у одного из них в направлении С-Ю идет “плюс” полоса, у другого, в том же направлении, “минус” полоса (рис. 1). Различные виды сетей, накладываясь друг на друга, создают сложную картину геофизических аномалий на поверхности Земли, а в точках их пересечений образуются узлы, размером 10х10, или 20х20 см, где интенсивность излучения резко возрастает (Дубров, 1992) (первоисточник этих размеров неизвестен, хотя они повторяются в десятках статей). Причина возникновения этих сетей до конца неизвестна, по одной из последних гипотез, “характерные особенности этого излучения – острофокусность, неэкранируемость, строгая вертикальная направленность лучей, связаны с тем, что возможной причиной их возникновения являются аномалии в магнитном и гравитационном полях Земли, создающие стоячие гравитационные волны”, предсказанные А. Эйнштейном, но до сих пор экспериментально не обнаруженные (Гридин, Гак, 1994). Тем не менее, даже при недостаточной ясности в физике явления существуют многочисленные доказательства отрицательного воздействия этих излучений на человека. Именно по этой причине, эти аномалии известны еще и как **геопатогенные зоны** (Дубров, 1992; Hartman, 1976). К сожалению, большинство исследований этих сетей и в России, и за рубежом сводилось, в основном, к медицинской статистике заболеваний и их связи с фактом пребывания людей в различных узлах сети, без достаточного знания происхождения и структуры полос. Одной из причин по-

добного подхода к исследованию параметров сети заключается в том, что излучение полос сети Хартмана до сих пор не регистрируется приборами, в отличие от других геофизических аномалий — магнитных или силы тяжести, в силу недостаточной чувствительности современных приборов, поэтому местоположение элементов сети производится **только** с помощью лозы, маятника или биоранки, то есть методом биолокации. Метод биолокации приборным не считается и поэтому не пользуется доверием научной общественности, хотя существует уже более 2000 лет и успешно используется для поисков воды, полезных ископаемых, кладов и определения благоприятных для человека мест обитания.

Разброс в значениях параметров элементов сети Хартмана (например, самая распространенная в специальной литературе ширина полос — 22 ± 2 см и их пересечений — 10×10 или 20×20 см, приводятся без ссылок, как нечто само собой разумеющееся) и отсутствие объективных измерений заставили нас искать метод регистрации параметров элементов сети Хартмана, который отвечал хотя бы минимальным требованиям метрологии, то есть обладал бы погрешностью порядка 1-5% и возможностью применения метода в других лабораториях. При этом, по разным причинам и на основании предыдущего опыта мы сочли бесперспективными методы, предлагаемые в (Betz, 1993), а также приведенные, по сути, в теоретическом обзоре (Эткин, 2005), поскольку ни один из предложенных методов не дал ничего нового в исследованиях параметров элементов сети и не привел к созданию прибора для определения местоположения полос сети Хартмана **по их излучению**. О параметрах излучения полос было известно лишь то, что это излучение, вероятно, космического происхождения с длиной волны 21,5 см (Schweizer, 1986), однако в литературе фигурируют и другие цифры — от 8,5 до 62,5 см, зависящие от геологического строения местности — земное излучение (Дубров, 1992).

При выборе метода регистрации мы исходили из следующих соображений: ввиду слабой интенсивности излучения необходимо было использовать носитель, имеющий возможность накопления информации. Исходя из имеющегося опыта регистрации корпускулярных частиц во время солнечных вспышек 2003 года (Sagatelyan et al., 2004), в качестве такого носителя, позволяющего в течение времени накапливать информацию и **не требующего источника питания**, использовалась цветная фотопленка высокой чувствительности, имеющая спектральный диапазон чувствительности от 0,01 до 1200 нм (Федько, 1990).

В результате был разработан метод контактной фотографии с использованием светонепроницаемой кассеты из специального материала, пропускающего излучение радиационного фона Земли и излучение дециметрового диапазона, защищенный патентом Республики Армения (Агбальян, 2008). Кассеты из специального материала с фотопленкой располагались на полосах

и в узлах сети Хартмана, определяемых с помощью **метода биолокации**, что позволило не только зафиксировать сам факт существования полосы в данном месте, но и выявить ее структуру и дрейф в течение времени экспозиции.

На фотографии (рис 2, см вкладку) представлен небольшой участок фотопленки (время выдержки 15 суток, излучение направлено снизу-вверх), на котором отчетливо виден "шнур" — средняя часть полосы шириной 2-3 мм, границами которого являются две белые линии, хорошо видимые на темном фоне. Там, где на кассету снизу была наклеена поливинилхлоридная изоляционная лента, видна темная полоса, что подтверждает наличие высокочастотного электромагнитного излучения, направленного на пленку снизу, поскольку известно, что поливинилхлорид не пропускает излучения в соответствующем диапазоне частот (в зависимости от марки материала). Причем, на следе от изоляционной ленты видны красные участки. Это означает, что со временем изоляционная лента начинает пропускать излучение. По-видимому, это связано с изменением структуры полимерной пленки под действием радиационного фона Земли (рис. 2, слева). На отдельных участках "шнура" и в его окрестностях, на рис. 2 и 3, отчетливо видны желтые точки-следы космических частиц. Это подтверждает наше предположение о том, что высокочастотное излучение полосы для частиц является своеобразным волноводом, что и приводит к сосредоточению частиц, в основном, внутри "волновода" или там, где этот волновод был ранее. Следы этих частиц есть и на рис. 4, на котором виден "шнур" — средняя часть полосы сети Хартмана (направление С-Ю), сфотографированный в солеруднике на глубине 235 м. Как видно на фотографии, картина та же — основное поле красного цвета, как и на поверхности Земли, цвет же "шнура" — голубой. Это говорит о большей интенсивности излучения, чем на поверхности Земли, что вполне логично. Кроме того, выдержка под Землей составляла всего **одни сутки**, вместо 15 суток на поверхности Земли. Если предположить, что это рентгеновское излучение, возникающее при распаде радона-0,5 МэВ, с длиной волны 0,0025 нм, то при такой энергии фоточувствительный слой пленки **не может** поглотить энергию высокоэнергетического рентгеновского кванта, поскольку фотопленка на основе галогенида серебра реагирует на длину волны более 0,01 нм (Редько, 1990). Для видимого диапазона кассета непрозрачна, однако на пленке отчетливо видны белые линии на границах шнура — есть фотографии, на которых они появляются через 10ч. Анализ многочисленных фотографий позволил обнаружить ранее неизвестное явление.

Мы считаем, что двойные белые линии (рис. 2 — 4) это стенки полосковой линии, представляющие собой гамма- или рентгеновское излучение, имеющее космическое происхождение, создающее ионизированный канал, через который на Землю

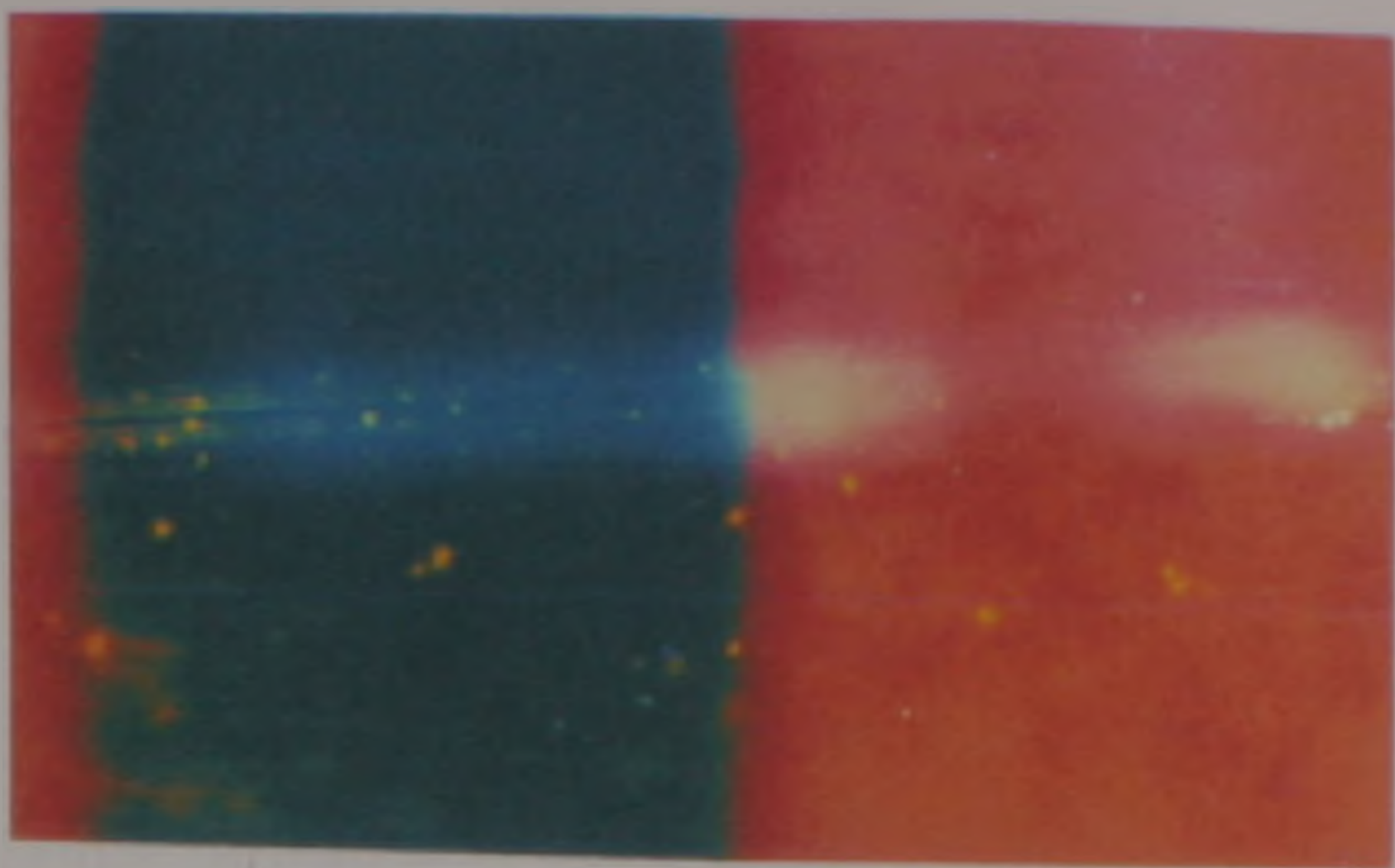


Рис.2, Шнур полосы сети Хартмана, излучение направлено снизу вверх



Рис.3. Узел ячейки Хартмана виден дрейф полосы и узла сети

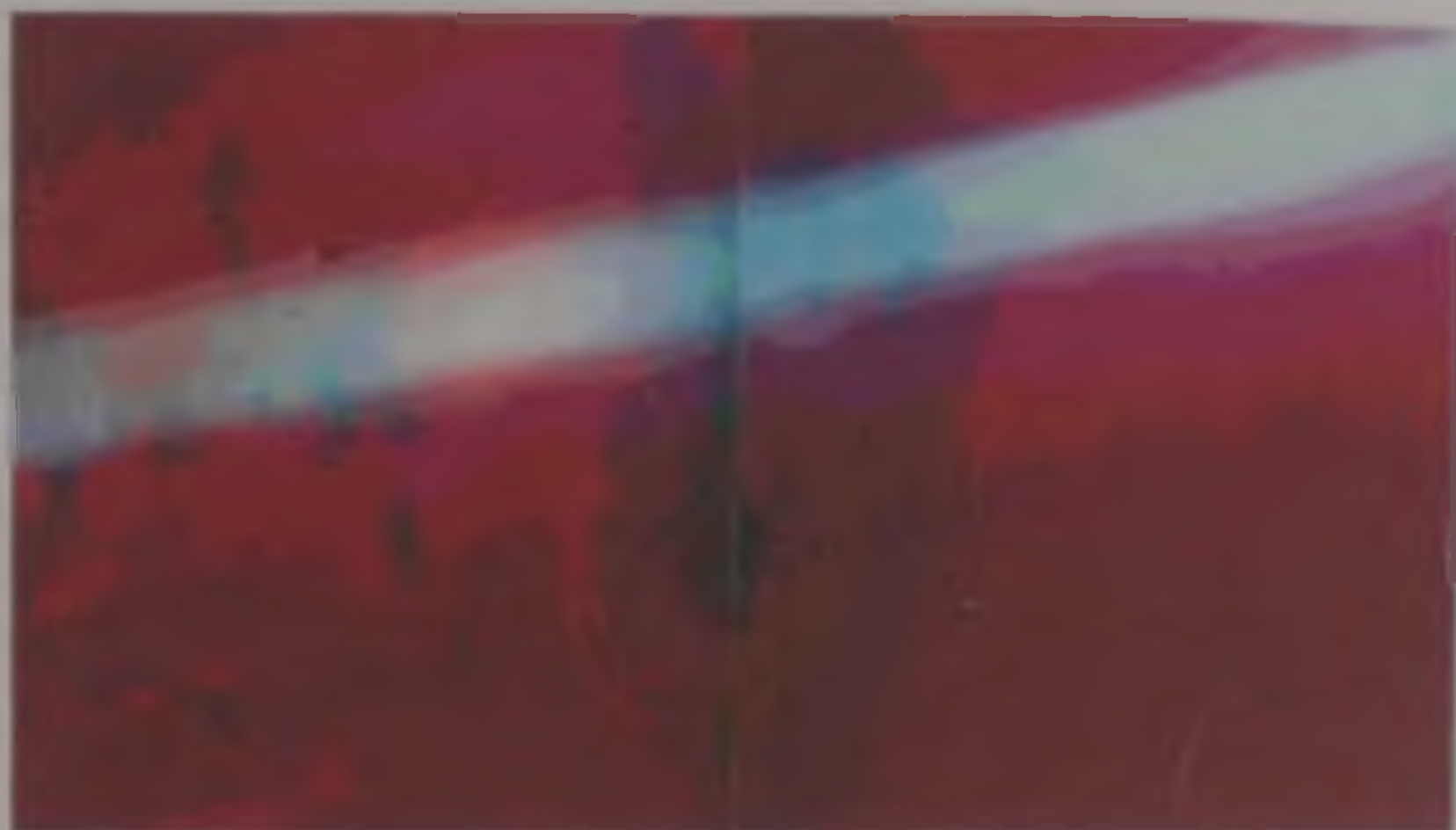


Рис.4. Полоса сети в солеруднике, на глубине 235 (экспозиция 1 сутки)



Рис.5. Рассеяние излучение полосы, отраженное от параболического зеркала

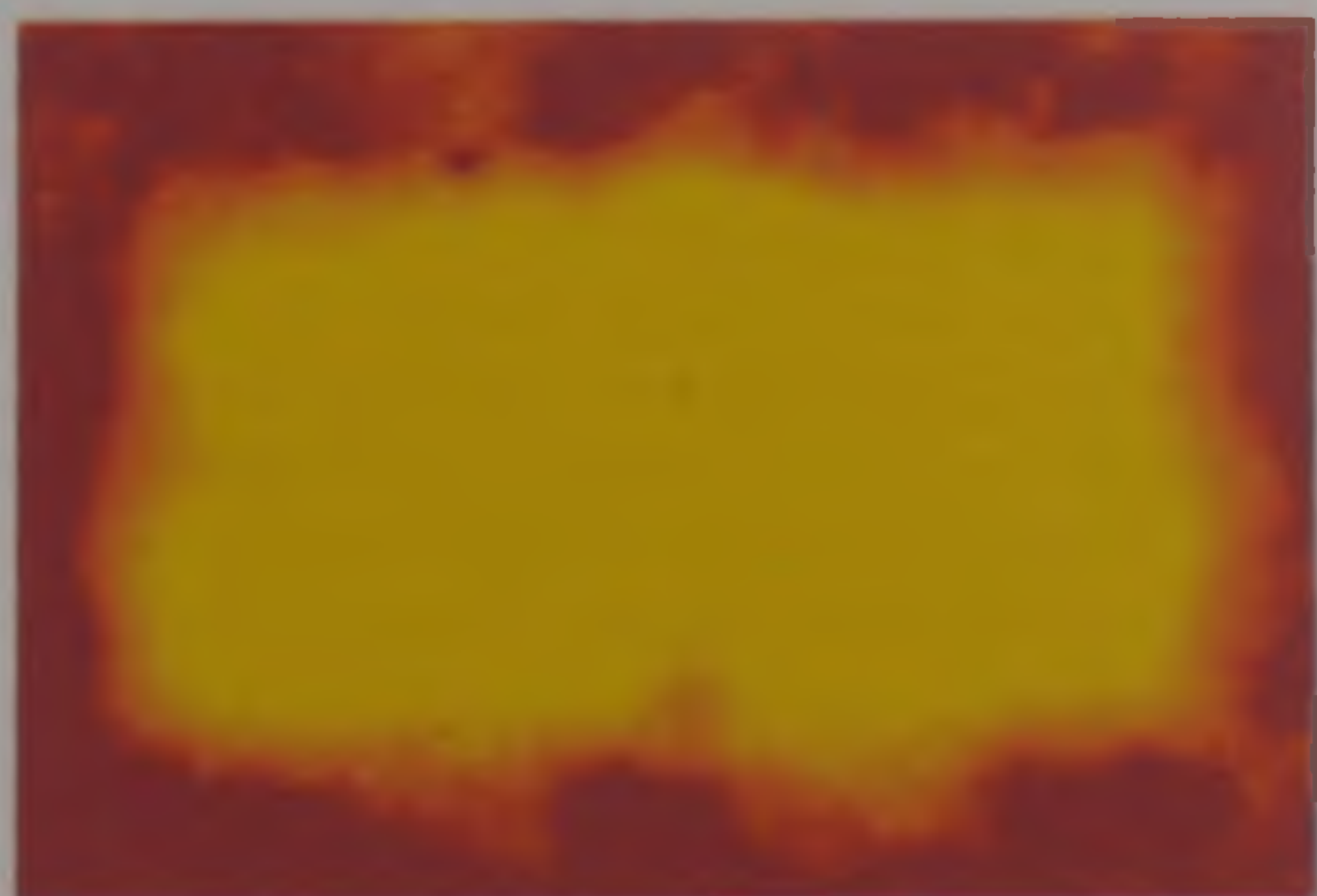


Рис.6. Изображение излучения от стандартного генератора сигналов (частота 10 ГГц) в пределах волновода

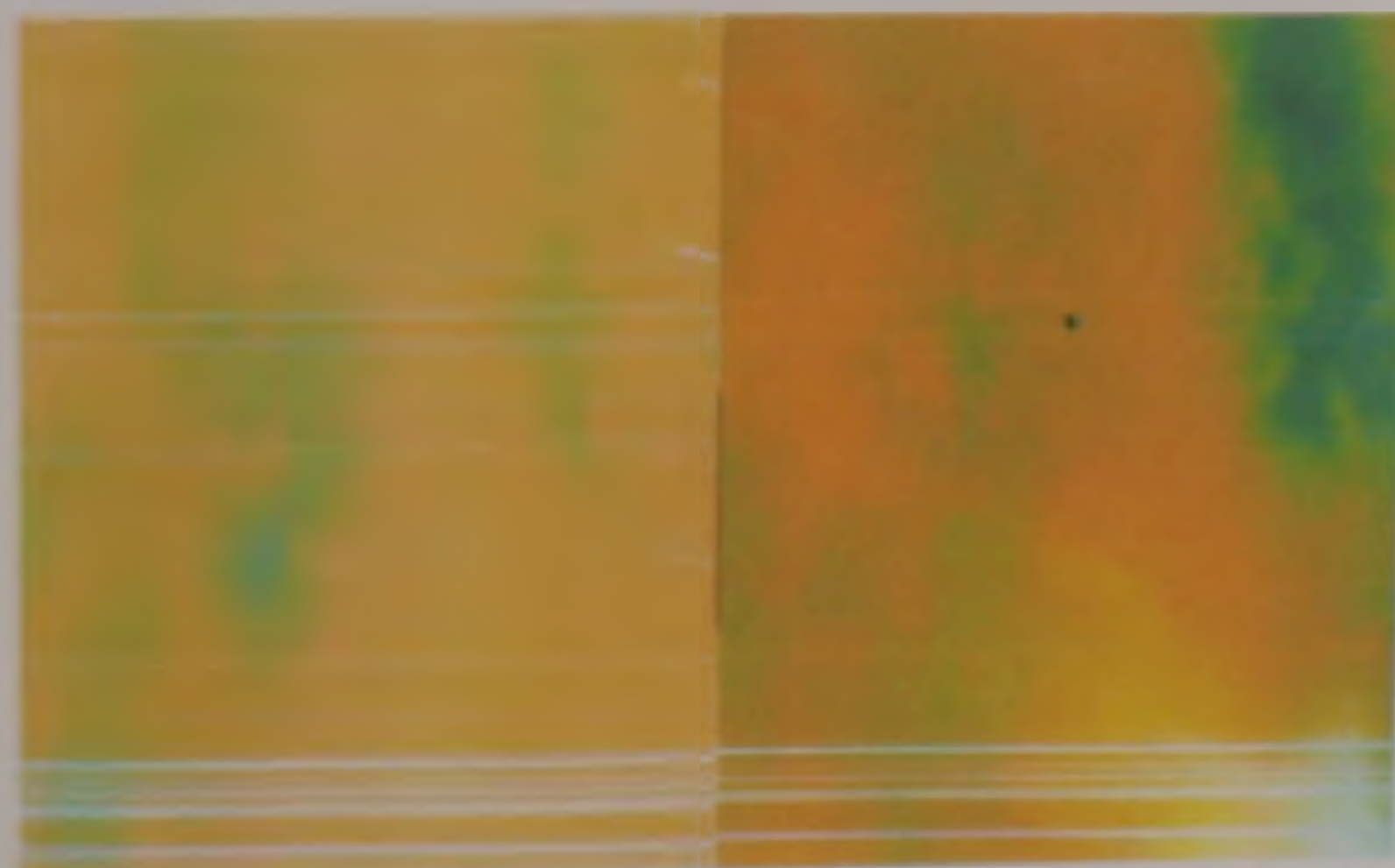


Рис.7. Дрейф полосы и ее обратный ход за время экспозиции (15 суток)

доходит излучение полос сети Хартмана. Без рентгеновских или гамма-стенок дециметровое излучение полос не может достигнуть Земли в виде узкой полосы, поскольку существует явление дифракционного рассеяния, характерное для любого излучения.

В пользу этой гипотезы можно привести следующие факты.

1. Материал кассеты, в которой находится пленка, не пропускает излучение в диапазоне волн от ультрафиолета до далекой инфракрасной области-40мкм (проверено на спектрофотометре).

2. Через материал кассеты может пройти только рентгеновское, гамма-или высокочастотное излучение, поскольку материал кассеты — диэлектрик.

3. В случае, если убрать рентгеновские или гамма-стенки, высокочастотное излучение должно рассеяться.

Чтобы убрать рентгеновские стенки, излучение полосы, отраженное от параболического зеркала, направляется на кассету с пленкой, находящуюся в фокусе зеркала. Поскольку рентгеновское излучение от зеркала под большим углом не отражается, высокочастотное излучение, лишившись рентгеновских или гамма-стенок, рассеивается, что и зафиксировано на рис.5.

Замечание. Определить рентгеновское это излучение или гамма невозможно без специальной аппаратуры, которой мы не располагаем, поскольку в этом диапазоне энергий оба вида излучения обладают выраженными волновыми свойствами.

Однородный цвет красного фона с черными участками можно объяснить наличием природного радиационного фона Земли, с энергией не более 50-120 кэВ, что также следует из спектральных возможностей фотопленки. На рис.2 также видна структура полосы, ее границы с небольшим дрейфом и "шуба"-термин, принятый в специальной литературе—туманообразное образование, которое также представляет собой излучение. На снимке видны следы космических частиц, а также структура "шубы", разные цвета окраски которой соответствуют различной энергии излучения неизвестного происхождения, вызвавшей подобную засветку. То, что на наших фотографиях можно назвать центральной частью- "шур"- имеет ширину 4 мм, а ширина «шубы» составляет не более 10-15 мм, а не 20-30см что видно на рис.3 (Дубров,1992). Возвращаясь к полученным фотографиям, необходимо отметить, что в зависимости от величины экспозиции и местоположения кассеты фон на фотографии может быть светло-зеленым (выдержка 4 суток), темно-зеленым — выдержка 15 суток, однако контейнер находился на втором этаже здания, на расстоянии 5 м от поверхности Земли (рис.7), или темно-красным, выдержка 15 суток - кассета находилась на земле (рис.2 и 3). Таким образом, цвет фона зависит от количества поглощенной энергии (дозы) природного радиационного фона Земли. Здесь в полной мере

проявляются уникальные аккумулярующие свойства фотопленки. Цвет цнуря полосы решетки Хартмана объяснить трудно, так как по логике вещей желтый цвет на цветной пленке получается при облучении пленки желтым цветом, голубой—при облучении пленки голубым цветом, *которые материал кассеты не пропускает*. Как показали исследования, дециметровое излучение полосы сети Хартмана вызывает локальный нагрев эмульсии пленки, за счет поглощения энергии высокочастотного излучения водой на квазирезонансной частоте релаксации молекулы воды, содержащейся в эмульсии и желатине пленки, что подтвердилось при облучении фотопленки в такой же кассете генератором стандартных сигналов на частоте 10 ГГц, при выходной мощности 6-10 мВт и экспозиции 6 ч (рис.6). На многих фотографиях, особенно при длительных выдержках, можно заметить дрейф полос за время экспозиции. На рис.7 видны несколько полос- светлых и темных. Верхняя пара полос, судя по всему, это начальная полоса, появившаяся при минимальной экспозиции от 10 до 24 часов, после чего начинается дрейф полосы и, в конечном итоге, она занимает положение внизу кадра и остается там значительное время, что видно по цвету полосы. Полоса движется с небольшими остановками (скачками), что позволяет ей оставлять следы без "размазывания" изображения—это видно на рис.7 и, наконец, останавливается в нижнем положении, после чего дрейф продолжается, но в обратную сторону. Причем, нам кажется, что вторая снизу пара полос—это уже обратный ход дрейфа. Величина этого дрейфа весьма незначительна-10-15 мм (за время выдержки), так как вся ширина пленки, показанной на рис.4, составляет 24мм, хотя не исключено, что в результате дрейфа полоса выходит за пределы фотопленки, а затем возвращается обратно. На рис.3 показан узел сети Хартмана, на котором видно, что в течение времени выдержки-15 суток горизонтальная полоса С-Ю, на которой видны следы космических частиц, остается неподвижной, а вертикальная полоса З-В—движется. Кстати, замечена закономерность, когда одна из полос движется, другая, как правило, стоит. Справа на снимке видно ее первоначальное положение — слева, в конце экспозиции и, наконец, внизу, слева на снимке, белый квадратик перекрестия—узел, размеры которого равны, примерно, 3х3мм, который также дрейфует в течение времени экспозиции.

В заключение считаем необходимым отметить, что полученные фотографии (судя по всему, первые в мире) являются своеобразной реабилитацией метода биолокации, так как именно этим методом определялось местоположение сфотографированных полос и узлов сети Хартмана.

Выражаю благодарность Л.А.Араратяну—автору оригинального метода точного определения местоположения элементов ячейки сети Хартмана, с помощью которого и было получено большинство фотографий.

ЛИТЕРАТУРА

- Агбалиян Ю.Г. Патент РА N2082A2 "Устройство для регистрации высокочастотного электромагнитного излучения". Класс G01V "Официальный бюллетень промышленной собственности". N1, 2008.
- Агбалиян Ю.Г. Регистрация излучения сантиметрового диапазона полос сети Хартмана на цветную фотопленку И.в. НАН РА. Технические науки, 2008, 1, с. 158-160.
- Гридин В.И., Гак Е.З. О происхождении глобальной энергетической сети Хартмана. В кн.: Физико-геологическое моделирование природных явлений. под ред. Дмитриевского А.Н. РАН, Ин-т пробл. нефти и газа. М.: Наука, 1994, с.6-9.
- Дубров А.П. Земное излучение и здоровье человека, М.: Изд.АиФ, 1992, 126с.

- Редько А.В. Основы черно-белых и цветных фото-процессов. М.: Изд."Искусство", 1990, 180с.
- Эткин В.А. Детекторы энергоинформационных взаимодействий (Detectors of energoinformatic interactions). Интернет. vaetkin@bezeqint.net).
- Hartman E. Krankheits Standortproblem. 3. Auflage, Heidelberg, 1976, s.153.
- Sagatelyan E.A., Aghbalyan Yu.G., Petrosyan A.R. Radon as indicator of Hartmann's lattice network and the dynamics of solar-terrestrial relationships. Natural Sciences eco-journal, National Academy of Sciences, RA, 2004, issue 2.
- Betz H-D. Unconventional Water Detection Deutsche Gesellschaft für Technische Zusammenarbeit, 2nd edition 1993, s.138.
- Schweizer P. Erfahrungshandbuch 1986, Bd 35. n.11 s.801-822

Рецензент Р.Т.Мириджян

ՀԱՐԹՄԱՆԻ ԳԼՈՒԲԱԼ ԷՆԵՐԳԵՏԻԿ ՑԱՆՅԻ ՀԵՏԱԶՈՏՄԱՆ ԵՂԱՆԱԿՆԵՐԸ (ԵՐԿՐԱՅԻՉԻԿԱԿԱՆ ՏԱՐՕՐԻՆԱԿՈՒԹՅՈՒՆ)

ՄԱՍ 1. ՑԱՆՅԻ ՏԱՐՐԵՐԻ ԼՈՒՍԱԳՐԱՆՅՈՒՄ

Յ.Գ. Աղբալյան

Ա մ փ ո փ ո մ

Հոդվածում բերված են Հարթմանի գլոբալ էներգետիկ ցանցի ժապավենների և հանգույցների գունավոր լուսանկարները, որոնք ստացվել են կոնտակտային լուսանկարման միջոցով՝ հատուկ նյութից պատրաստված լուսատուփում: Ստացված լուսանկարները թույլ են տալիս իրապես գնահատել ցանցի տարրերի ֆիզիկական չափսնիշները՝ ժապավենների լայնությունը, հանգույցների մակերեսը, ինչպես նաև ժապավենների շարժումը ժամանակի ընթացքում: Հաստատված է, որ ժապավենների բարձր հաճախականության վերևից ներքև ուղղված ճառագայթումը հասնում է Երկրին ժապավենային գծի միջոցով, որի պատերը հանդիսանում են տիեզերական ծագման ռենտգենյան կամ գամմա ճառագայթում: Հարթմանի ցանցի ժապավենների լուսանկարները ստացված են Երկրի մակերևույթից 5 մետր բարձրության վրա, ինչպես նաև աղի հանքում 235 մետր խորության վրա:

METHODS OF STUDYING THE HARTMANN GLOBAL ENERGETIC NET (A GEOPHYSICAL ANOMALY)

CH.1. PHOTO-REGISTRATION OF THE ELEMENTS OF THE NET

Y.G.Aghbalian

Abstract

The article contains photos of the stripes and nodes of the Hartmann global energetic net (a geophysical anomaly) taken through the method of contact photography in a cassette made of special material, on a colored film. The photos allow a comprehensive assessment of physical parameters of the net elements – the width of the stripes, the area of the node as well as the drift of stripes during the exposition time. As indicated, high frequency radiation of downward running stripes reaches the Earth inside the stripe line, which walls is X-ray- or g-radiation of cosmic origin. The photos of the Hartmann net stripes have been taken on the Earth's surface, 5 m above the surface and at a depth 235 m in the salt mine.